СРАВНИТЕЛЬНОЕ ИССЛЕДОВАНИЕ ИММУНОМОДУЛИРУЮЩЕГО ВЛИЯНИЯ ЭКСТРАКТА ИЗ ГОЛОТУРИЙ И ИНДУКТОРОВ ПОЛЯРИЗАЦИИ МАКРОФАГОВ НА МОДЕЛИ ФАГОЦИТОВ *EUPENTACTA FRAUDATRIX* ПРИ РАНЕНИИ

Долматова Л. С.  $^{1}$ 

<sup>&</sup>lt;sup>1</sup> ФГБУН «Тихоокеанский океанологический институт имени В.И. Ильичева» Дальневосточного отделения Российской академии наук, г. Владивосток, Россия.

COMPARATIVE STUDY OF THE IMMUNOMODULATING EFFECTS OF HOLOTHURIAN EXTRACT AND MACROPHAGE POLARIZATION DRIVERS ON THE MODEL OF PHAGOCYTES OF INJURED EUPENTACTA FRAUDATRIX

Dolmatova L. S. a

<sup>a</sup> V.I. Il'ichev Pacific Oceanological Institute, Far Eastern Branch Russian Academy of Sciences, Russian Federation.

#### Резюме

Голотурии известны своей высокой способностью к регенерации. Экстракт (ЭГ) из тканей голотурий способен ускорять заживление ран. У позвоночных животных в регуляции заживления участвуют два типа макрофагов с различной ролью на разных стадиях заживления. У голотурий также выделяются две обогащенные фракции фагоцитов, являющихся аналогами макрофагов, Ф1 и Ф2. Механизмы влияния ЭГ на отдельные типы фагоцитов в процессе ранозаживления в модельных экспериментах оставались неисследованными. Представляло интерес исследование влияния ЭГ в сравнении с препаратами, известными как индукторы поляризации макрофагов. Целью данной работы явилось изучение влияния ЭГ на численность и фенотип фагоцитов  $\Phi 1$  и  $\Phi 2$  при ранении голотурии *Eupentacta* fraudatrix сравнении cтаковым гранулоцитарно-макрофагального колониестимулирующенр фактора (GM-CSF) и фактора некроза опухолей  $(TNF)-\alpha$ .

Экспериментальным (n=4-6)скальпелем животным наносили поверхностную рану. Части животных дополнительно инъецировали препараты: GM-CSF, TNF-α или ЭГ. Через 0 мин и 1 сут. фагоциты Ф1 и Ф2 центрифугированием целомической жидкости градиенте плотности фиколл-верографина. Определяли концентрацию целомоцитов и содержание фагоцитов Ф1 и Ф2 методами световой микроскопии. Оценку связывания клеток ФИТЦ-мечеными лектинами из Dolichos biflorus (DBA), Canavalia ensiformis (conA) и Glycin max (SBA) проводили с использованием флуоресцентного микроскопа. Измерение длины раны проводили через 0 мин и 72 ч.

Поверхностное повреждение тела голотурии вызывало через 24 ч возрастание концентрации целомоцитов и содержания фагоцитов Ф1, но снижение содержания Ф2 фагоцитов. Изменения в численности клеток целомической жидкости у раненых животных и снижение их дифференциации, о котором судили по связыванию лектина DBA, при Russian Journal of Immunology (Russia) ISSN 1028-7221 (Print)

воздействии препаратов свидетельствуют о том, что цитокины, по-видимому, вызывали сдвиг соотношения фагоцитов двух типов в тканях в сторону преобладания Ф1 фагоцитов, а ЭГ - Ф2 фагоцитов. Оценка связывания клетками conA выявила, что цитокины подавляли функциональную Ф1 фагоцитов при ранении. ЭГ активность не только подавлял функциональную активность Ф1 фагоцитов, но и стимулировал активность Ф2 фагоцитов, при этом ускорял заживление раны по сравнению с цитокинами.

Ускорение заживления раны при воздействии ЭГ связано с преимущественной активацией Ф2 фагоцитов и их рекрутированием в ткани. Это свидетельствует о важной роли Ф2 фагоцитов в восстановлении тканей.

**Ключевые слова:** голотурии, фагоциты, гранулоцитарномакрофагальный колониестимулирующий фактор, фактор некроза опухолей альфа, экстракт из голотурий, ранозаживление.

#### **Abstract**

Holothurians (sea cucumbers) are known for their high regenerative ability. Extract from holothurian tissues (EH) can accelerate wound healing. In vertebrates, two types of macrophages display different roles in regulation of healing at its different stages. In holothurians, two enriched fractions of phagocytes that are analogs of macrophages, P1 and P2, are also identified. The mechanisms of EH influence on separate types of phagocytes in the wound healing in model experiments remained unexplored. It was of interest to study the effect of EH in comparison with substances known as inducers of macrophage polarization The aim of this work was to study the effect of EH on the number and phenotype of phagocytes P1 and P2 in the wounded holothurian *Eupentacta fraudatrix* in comparison with that of granulocyte-macrophage colony-stimulating factor (GM-CSF) and tumor necrosis factor (TNF)-α.

Experimental animals (n=4-6) received a superficial wound with a scalpel. Some animals were additionally injected with GM-CSF, TNF-α or EH. After 0 min and 1 day phagocytes P1 and P2 were isolated by centrifugation of coelomic fluid in a density gradient of ficoll-verographin. The concentration of coelomocytes and content of phagocytes P1 and P2 were determined by light microscopy. The binding of cells to FITC-labeled lectins from *Dolichos biflorus* (DBA), *Canavalia ensiformis* (conA) and *Glycin max* (SBA) was assessed using a fluorescence microscope. Wound length measurements were performed after 0 min and 72 h.

Surface damage of the holothurian body caused an increase in the concentration of coelomocytes and the content of phagocytes P1, but a decrease in the content of P2 phagocytes. Changes in the number of cells in the coelomic fluid of wounded animals and decrease in their differentiation, judged by DBA lectin binding, during the exposure to the substances studied indicate that cytokines apparently caused a shift in the ratio of phagocytes of two types in tissues towards the predominance of P1 phagocytes, while EH - P2 phagocytes. Evaluation of conA cell binding revealed that cytokines suppressed the functional activity of P1 phagocytes during wounding. EH not only suppressed the functional activity of P1

phagocytes, but also stimulated the activity of P2 phagocytes, and accelerated wound healing compared to cytokines.

Acceleration of wound healing under the influence of EH is associated with the preferential activation of P2 phagocytes and their recruitment into tissues. This indicates an important role of P2 phagocytes in tissue repair.

**Keywords:** sea cucumbers, phagocytes, granulocyte-macrophage colony-stimulating factor, tumor necrosis factor- $\alpha$ , sea cucumber extract, wound healing.

#### 1 Введение

1

25

26

27

28

29

30

Морские беспозвоночные животные (Holothuroidea, голотурии 2 Echinodermata) известны своей высокой способностью к регенерации 3 утраченных частей тела и эффективному заживлению ран [5]. Ранее 4 полученный из тканей голотурий дальневосточных видов экстракт (ЭГ) 5 обладает выраженными бактерио- и фунгистатическими эффектами, а также 6 способствует Отмечены 7 ускорению заживления [1]. ран его иммуномодулирующие свойства модели фагоцитов 8 на голотурий, являющихся аналогами макрофагов, in vitro [2]. В исследованиях на 9 позвоночных животных установлена ведущая роль отдельных типов 10 макрофагов (М1 или М2) в регуляции заживления на его разных стадиях [15]. 11 М1 и М2 макрофаги имеют ряд фенотипических отличий, в частности, М1 12 макрофаги несут поверхностные маркеры CD64 и CD80, а M2 макрофаги 13 характеризуются наличием CD64 и CD209. Кроме того, в макрофагах M1 14 высок уровень продукции оксида азота (NO), а M2 клетки отличает высокая 15 активность аргиназы. Макрофаги принимают тот или иной фенотип 16 ("поляризуются") под влиянием микроокружения. Для стимуляции их 17 поляризации по М1 пути могут использоваться некоторые препараты. Такие 18 цитокины как гранулоцитарно-макрофагальный колониестимулирующий 19 фактор (GM-CSF) и фактор некроза опухолей (TNF)-а считаются индукторами 20 поляризации по М1 типу [9]. В то же время есть данные о способности этих 21 цитокинов стимулировать заживление ран [3]. 22 Участие было фагоцитов голотурий В заживлении 23 ран 24

Участие фагоцитов голотурий в заживлении ран было продемонстрировано ранее [13]. Вместе с тем, выделение обогащенных фракций фагоцитов, получивших название Ф1 и Ф2, которые имеют высокий уровень NO или высокую активность аргиназы, соответственно [8], позволяет выделить среди фагоцитов голотурий две субпопуляции, подобные М1 и М2 макрофагам.

Было также показано, что количество Ф1 и Ф2 фагоцитов и их соотношение меняются в процессе заживления раны, что позволило Russian Journal of Immunology (Russia)

ISSN 1028-7221 (Print) ISSN 2782-7291 (Online)

предположить их различную роль [7]. Одним из факторов, затрудняющих дальнейшие исследования, является отсутствие у фагоцитов голотурий поверхностных маркеров, известных для позвоночных. Однако Ф1 и Ф2 фагоциты голотурий отличаются по уровню связывания их поверхностных рецепторов с растительными лектинами [6], что позволяет характеризовать различия в их фенотипе.

Механизмы влияния ЭГ на отдельные типы фагоцитов в процессе ранозаживления в модельных экспериментах оставались неизученными. Представляло интерес исследование влияния экстракта в сравнении с препаратами, известными как индукторы поляризации макрофагов.

Целью данной работы явилось изучение влияния ЭГ на численность и фенотип фагоцитов Ф1 и Ф2 при поверхностном ранении голотурии *Eupentacta fraudatrix* в сравнении с таковым GM-CSF и TNF-α.

#### МАТЕРИАЛЫ И МЕТОДЫ

Russian Journal of Immunology (Russia)

Экземпляры голотурии *E. fraudatrix* с длиной тела 4–6 см собирали в феврале-марте в зал. Восток (зал. Петра Великого, Японское море) легководолазным методом. ЭГ получали из тканей голотурий, собранных в б. Алексеева (зал. Петра Великого, Японское море), на МЭС ТОИ ДВО РАН «о. Попова», по методу, описанному ранее [1].

Поверхностный надрез производили скальпелем. Одновременно животным (n = 4-6) с помощью шприца вводили в целомическую полость фосфатно-солевой буфер с добавлением 36 г/л NaCl (ФСБН) (контроль) или один или два препарата: GM-CSF (0,02 мкг/г, ГНЦ ИБХ РАН, Россия), TNF- $\alpha$  (0,02 мкг/г, «Цитокин», Россия) и ЭГ( 0,3 мкг/г). Через 0 мин или 24 ч от начала эксперимента у животных отбирали целомическую жидкость (ЦЖ), из которой выделяли фагоциты двух типов центрифугированием в градиенте фиколл-верографина [6]. Определяли концентрацию клеток в камере Горяева. Окрашивание клеток ФИТЦ-мечеными лектинами (ICN Biomedicals, Eschwege, Germany) из *Dolichos biflorus* (DBA), *Canavalia ensiformis* (conA) и *Glycin max* (SBA), проводили по методу, описанному McKenzie, Preston [11].

- 61 Исследование флуоресценции конъюгатов проводили с использованием
- 62 микроскопа Leica DM 4500 (Weltzlar, Германия). Измерение длины раны
- 63 проводили немедленно и через 72 ч после нанесения раны. Различия между
- 64 группами определяли методом одновариантного анализа (one-way ANOVA) с
- 65 использованием t-критерия Стьюдента. Разницу между группами считали
- 66 достоверной при P < 0.05.

#### РЕЗУЛЬТАТЫ И ОБСУЖДЕНИЕ

- Ранение вызывало увеличение концентрации клеток в целомической
- 69 жидкости через 1 сут в 4,8 раза по сравнению с контролем (рис. 1 А).
- 70 Повышение уровня циркулирующих целомоцитов через 1 сут после ранения
- 71 голотурии было показано и ранее [7]; оно сопровождает падение количества
- 72 клеток в первые часы после ранения и, по-видимому, связано с
- 73 необходимостью пополнения пула клеток, рекрутируемых в ткани.
- 74 Рис. 1. Концентрация клеток целомической жидкости при
- 75 ранении и инъекции препаратов,  $M\pm\Sigma$ . А: Целомоциты, 1 сут. 1-ФСБН, 2-
- ранение+ $\Phi$ СБН, 3- GM-CSF, 4-ранение+ GM-CSF, 5-ранение+TNF- $\alpha$ , 6-ЭГ, 7-
- 77 ранение+ $\Im\Gamma$ , 8- ранение+ $\Im\Gamma$ + GM-CSF. По оси ординат-концентрация клеток,
- 78 кл. х  $10^6$ /мл. Примечание: достоверность различий между контролем (ФСБН)
- 79 и ранением (а) и между ранением и другими экспериментальными группами
- 80 (b) соответствует P<0,05. N=6. Б и В: Содержание фагоцитов  $\Phi$ 1 (Б) и  $\Phi$ 2 (В).
- 1-ФСБН, 0 мин, 2-ФСБН 1 сут, 3- ранение+ФСБН 1 сут, 4-GM-CSF 1сут, 5-
- ранение+GM-CSF 1 сут, 6-ранение+TNF- $\alpha$ , 1 сут, 7- ранение+ЭГ 1 сут, 8-
- 83 ранение+ $Э\Gamma$ +GM-CSF 1 сут, 9- $Э\Gamma$ . По оси ординат-количество фагоцитов, кл.
- 84 х  $10^6$ /экземпляр. Примечание: достоверность различий между контролем на 0
- 85 мин и группами на 1 сут (а) и между контролем на 1 сут и экспериментальными
- 86 группами на 1 сут (b), а также между ранением и другими
- экспериментальными группами (c) соответствует P < 0.05. N = 6.
- Fig.1. Concentration of coelomic fluid cells during injury and drug
- injection, M $\pm\Sigma$ . (A): Coelomocytes, 1 day. 1- bufferd saline, BSN, 2-injury+BSN,
- 90 3-GM-CSF, 4-injury+ GM-CSF, 5-injury+TNF-α, 6-EH, 7-injury+EH, 8-

102

103

104

105

106

107

108

109

110

111

112

113

114

115

116

117

118

119

120

injury+EH+GM-CSF. The ordinate axis shows cell concentration, cells x 10<sup>6</sup>/ml. 91 Note: the significance of differences between the control (BSN) and wound (a) and 92 between wound and other experimental groups (b) corresponds to P<0.05. N=6. (B) 93 and (C): Content of phagocytes P1 (B) and P2 (C). 1-BSN, 0 min, 2-BSN 1 day, 3-94 wound + BSN 1 day, 4-GM-CSF 1 day, 5-wound + GM-CSF 1 day, 6-wound + 95 TNF- $\alpha$ , 1 day, 7-wound + EH 1 day, 8-wound + EH + GM-CSF 1 day, 9-EH. The 96 ordinate axis shows the number of phagocytes, cells x 10<sup>6</sup>/specimen. Note: the 97 significance of differences between the control at 0 min and the groups on day 1 (a) 98 and between the control on day 1 and the experimental groups on day 1 (b), as well 99 as between injury and other experimental groups (c) corresponds to P<0.05. N=6. 100

При этом GM-CSF и ЭГ также повыщали концентрацию целомоцитов по сравнению с контролем, как у интактных, так и раненых животных, однако это повышение в последнем случае было ниже, чем при одном ранении. Введение TNF-α раненым животным возвращало этот показатель к контрольным значениям. По-видимому, ЭГ и GM-CSF стимулируют рекрутирование целомоцитов в ткани, что снижает количество целомоцитов в ЦЖ. TNF-α способен стимулировать рекрутирование целомоцитов при ранении в еще большей степени, чем GM-CSF и ЭГ. Совместное введение GM-CSF и ЭГ также предотвращало повышение концентрации целомоцитов при ранении.

Содержание фагоцитов Ф1 (рис. 1Б) и Ф2 (рис. 1В) было одинаковым в начальный момент (0 мин) после инъекции ФСБН. Но через сутки содежание Ф2 фагоцитов значительно превышало таковое Ф1 фагоцитов, что свидетельствует о преимущественном рекрутировании в ткани Ф1 фагоцитов. Как и в случае целомоцитов, ранение повышало содержание Ф1 фагоцитов в целомической жидкости по сравнению с контролем. ЭГ стимулировал рост содержания Ф1 при ранении по сравнению с одним ранением. Напротив, TNF-α и GM-CSF снижали повышение содержания Ф1 при ранении, хотя GM-CSF повышал содержание этих клеток у интактных ЭГ животных. По-видимому, цитокины увеличивают, подавляет Russian Journal of Immunology (Russia) ISSN 1028-7221 (Print) ISSN 2782-7291 (Online)

137

138

139

140

141

142

143

144

145

146

147

148

149

- 121 рекрутирование этих клеток в ткани. Эффект одновременного введения GM-
- 122 CSF и ЭГ на содержание Ф1 фагоцитов, как и в случае целомоцитов,
- 123 демонстрирует наличие разных механизмов их действия на эти клетки.

сторону преобладания Ф1 фагоцитов, а ЭГ - Ф2 фагоцитов.

- 124 Напротив, содержание Ф2 фагоцитов (рис. 1В) снижалось при ранении по сравнению с контролем через 1 сут. Действие TNF-α было 125 направлено на снижение рекрутирования Ф2 фагоцитов в ткани раненых 126 животных. Ни ЭГ, ни GM-CSF, не влияли на содержание Ф2 фагоцитов при 127 свидетельствует о том, действие 128 ранении, ЧТО ЧТО ИХ преимущественно, с влиянием на Ф1 фагоциты. Соответственно, цитокины, 129 по-видимому, вызывали сдвиг соотношения фагоцитов двух типов в тканях в 130
- Свежевыделенные фагоциты Ф1 и Ф2 связывали сопА в одинаковой пропорции (табл. 1), при этом отмечена тенденция к более низкому связыванию DBA в Ф2 фагоцитах по сравнению с Ф1 клетками. Ранение вызывало в Ф1 фагоцитах достоверное увеличение связывания сопА, но не
  - DBA. В Ф2 фагоцитах, напротив, связывание DBA, но не соп А, снизилось на 30%. Известно, что рецепторы к соп А экспрессируются при апоптозе или аутофагии [14] в ответ на увеличение продукции активных форм кислорода (АФК), поэтому увеличение связывания этого лектина при ранении указывает на активацию Ф1 фагоцитов. Изменения в связывании сопА в Ф1 фагоцитах при действии препаратов свидетельствуют о том, что ЭГ и GM-CSF, по-видимому стимулируют функциональную активность Ф1 фагоцитов у интактных животных, но при ранении достоверного эффекта по сравнению с действием самого ранения не оказывают, а TNF-α даже ингибирует повышение функциональной активности, вызываемое самим ранением. Повидимому, это связано с тем, что несмотря на то, что GM-CSF и TNF-α известны свой способностью вызывать поляризацию макрофагов по М1 пути, их эффекты могут регулироваться по механизму обратной связи [4].

TNF-α и GM-CSF снижали связывание DBA в Ф1 фагоцитах у 150 раненых животных по сравнению с ранением, хотя GM-CSF не вдиял на 151 показатель у интактных животных. ЭГ не влиял на связывание DBA в Ф1 152 153 фагоцитах ни у интактных, ни у раненых животных. Связывание DBA с поверхностными рецепторами характеризует диффенцирующиеся клетки [12], 154 и полученные результаты свидетельствуют о возможном снижении уровня 155 дифференцированных клеток Ф1 в общем пуле в связи с необходимостью их 156 157 восполнения вследствие рекрутирования в поврежденные ткани. Это предположение подтверждается тенденцией к снижению в 1, 4 раза в Ф1 158 фагоцитах раненых животных лектина из Glycin max (SBA), с  $26,6\pm2,0\%$  до 159  $18,7\pm3,1$  (P>0.05). Уровень SBA находится в прямом соотношении со 160 161 зрелостью клеток [10]. Снижение числа дифференцированных клеток при 162 GM-CSF и TNF-α подтверждает, что эти цитокины ускоряют рекрутирование Ф1 фагоцитов в ткани раненых животных. Отсутствие же 163 эффекта ЭГ на уровень зрелости клеток, по-видимому, связано с тем, что он 164 не влиял на рекрутирование Ф1 фагоцитов. 165

В Ф2 фагоцитах, как и в Ф1, ЭГ и GM-CSF стимулировали связывание сопА у интактных животных по сравнению с контролем. У раненых животных инъекция GM-CSF, как и TNF-α, не вызывала такого повышения по сравнению с ранением, а ЭГ достоверно повышал уровень связывания. Это свидетельствует в пользу предположения о том, что GM-CSF стимулирует преимущественно активность Ф1 фагоцитов, а ЭГ – Ф2 клеток. Совместное введение ЭГ и GM-CSF раненым животным не приводило к стимуляции связывания соп А по сравнению с контролем. Можно предположить наличие конкуренции между двумя препаратами за связывание с рецептором, содержащим остаток маннозы.

Ни ЭГ, ни GM-CSF не влияли на связывание DBA в Ф2 фагоцитах интактных животных по сравнению с контролем, но оба препарата снижали более чем в 2 раза этот показатель у раненых животных. Это свидетельствует об увеличении под их влиянием числа незрелых Ф2 фагоцитов. По-видимому,

166

167

168

169

170

171

172

173

174

175

176

177

178

179

181

182

183

184

185

186

187

188

189

190

191

192

193

194

195

196

197

198

199

200

201

202

203

204

205

206

207

208

оба препарата способствуют ускорению рекрутирования Ф2 фагоцитов в ткани. TNF-α у раненых животных не влиял на этот показатель по сравнению с контролем, что соответствует полученным данным об отсутствии изменений в содержании Ф2 фагоцитов в этой экспериментальной группе по сравнению с контролем и свидетельствует об отсутствии влияния TNF-α на рекрутирование Ф2 фагоцитов.

Происходящие изменения активности фагоцитов при действии препаратов сопровождались различными эффектами на заживление раны. Так при исходной длине разреза  $58,1\pm12,1$  мм, при введени GM-CSF это значение составило  $73,5\pm13,3$  мм, TNF- $\alpha$ -  $38,7\pm8.1$  мм, ЭГ- $34,8\pm3,8$  мм. Только ЭГ достоверно (P<0,05) снижал длину раны.

Таким образом, наблюдающееся при воздействии GM-CSF и TNFа преимушественное рекрутирование Ф1 фагоцитов в ткани раненых животных происходит наряду со снижением их функциональной активности. Это может свидетельствовать о возможной трансформации Ф1 фагоцитов в Ф2 фагоциты для поддержания баланса между про- и антивоспалительными эффектами ранения. В отличие от цитокинов, ЭГ не только подавлял функциональную активность Ф1 фагоцитов, но и стимулировал активность Ф2 фагоцитов рекрутирование Основываясь И ИХ В ткани. на морфофункциональном сходстве между Ф2 фагоцитами и М2 макрофагами, можно предполагать, что такое действие  $\Im\Gamma$  способствует заживлению раны в большей степени, чем при воздействии цитокинов.

#### ВЫВОДЫ

1. GM-CSF и TNF-α избирательно модулируют активность двух типов фагоцитов голотурии, с преимущественным влиянием на Φ1 клетки. 2. Скорость заживления раны при воздействии ЭГ более высокая, чем при действии цитокинов, что по-видимому связано с его способностью вызывать преимущественную активацию Ф2 фагоцитов и их рекрутирование в ткани. 3. Ф2 фагоциты играют важную роль в ранозаживлении.

210 Работа выполнена в рамках госзадания Министерства науки и высшего

211 образования РФ № 121021500052-9

### ТАБЛИЦЫ

**Таблица 1.** Связывание растительных лектинов поверхностными рецепторами фагоцитов  $\Phi 1$  и  $\Phi 2$  через 1 сут после ранения и инъекции препаратов,  $M\pm\Sigma$ .

**Table 1.** Binding of plant lectins to surface receptors of phagocytes P1 and P2 1 day

after injury and injection of preparations,  $M\pm\Sigma$ 

Тип воздействия	Лектины, % связывания				
Group	Lectins, % of binding				
	Con A		DBA	DBA	
	Ф1	Ф2	Ф1	Ф2	
	P1	P2	P1	P2	
Контроль	16,85±6,8	18, 1±1,8	25,9±3,4	31,7±5,4	
Control					
Рана	40,85±5,6 *	22,4±3.5	23,9±8,2	22,3±5,1	
Wound					
Рана+ GM-CSF	28,1±11,1	22,4±3,4	10,5±2,3 *	13,0±3,9 *	
Wound+ GM-CSF					
GM-CSF	25,78±3,6*	32,4±4,2*	24,7±0,3	28,6±0,7	
Рана+ЭГ	27,7±1,8*	31,9±6,1*	24,2±4,6	13,3±0,45*	
Wound+EH					
ЭГ	35,6±4,7*	40,3±3,8*	28,6±1,9	43,1±12,5	
ЕН					
Рана+TNF-α	17,1±1,9	15,4±0,8	5,9±0,7 *	29,4±1,7	
Wound+ TNF-α					
Рана+ЭГ+ GM-CSF	34,55±7,26	18,53±3,5	-	-	
Wound+ EH+ GM-CSF					

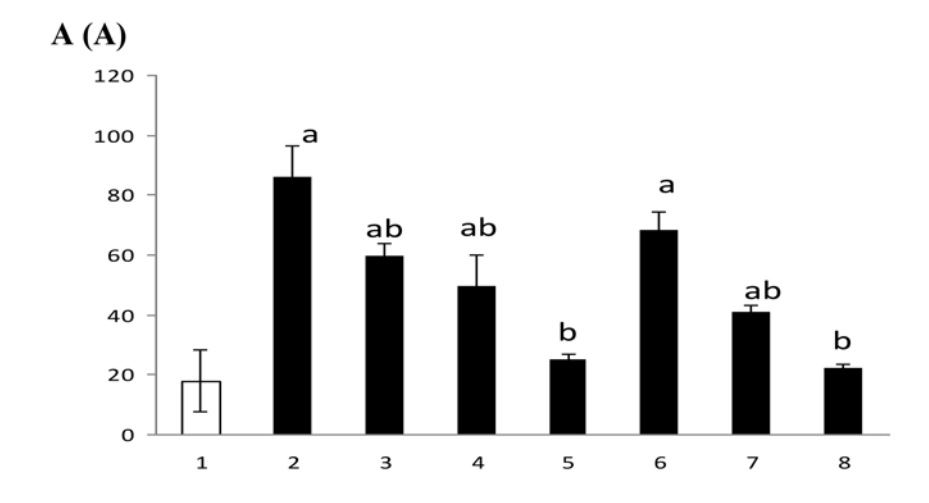
**Примечание:** \*-P<0,05 по сравнению с контролем. N=4.

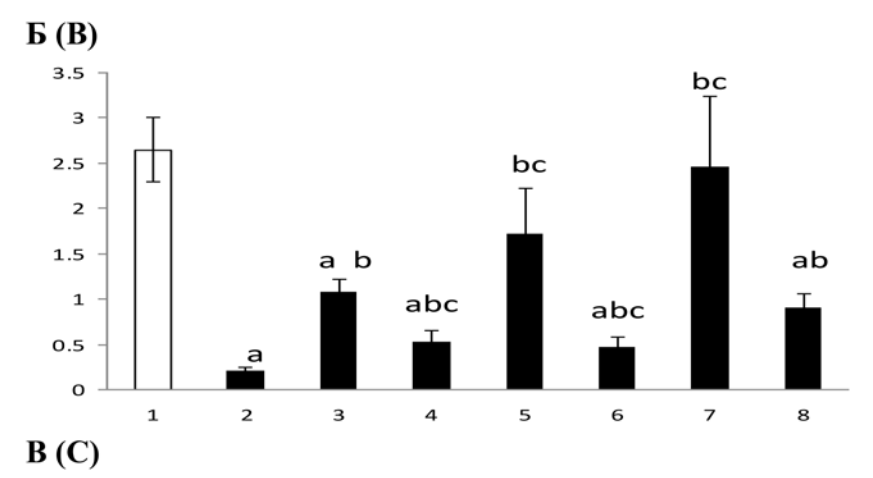
**Note:** \*-P<0.05 compared to control. N=4.

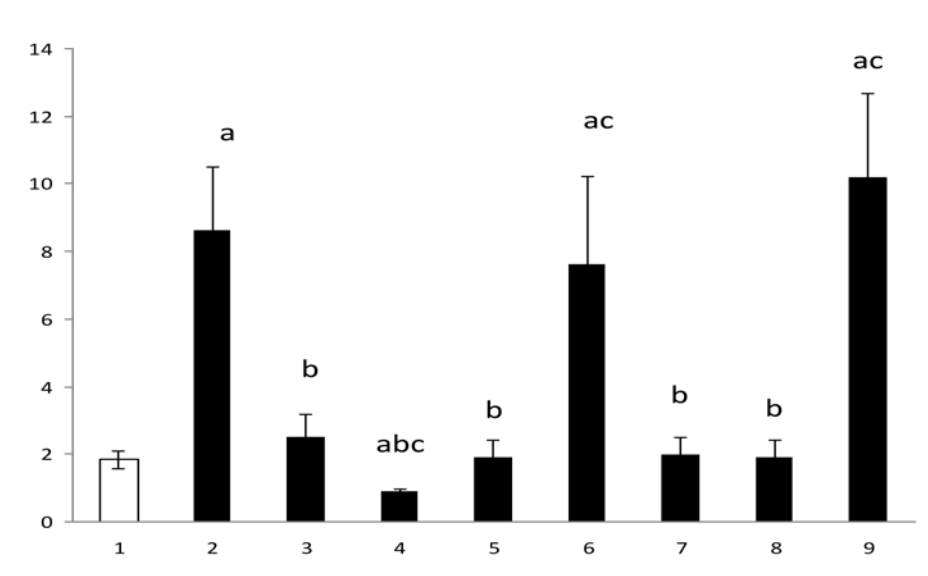
#### РИСУНКИ

**Рисунок 1.** Концентрация клеток целомической жидкости при ранении и инъекции препаратов,  $M\pm\Sigma$ .

**Figure 1.** Concentration of coelomic fluid cells during injury and drug injection,  $M\pm\Sigma$ .







А: Целомоциты, 1 сут. 1-ФСБН, 2-ранение+ФСБН, 3- GM-CSF, 4-ранение+ GM-CSF, 5-ранение+ТNF- $\alpha$ , 6-ЭГ, 7- ранение+ЭГ, 8- ранение+ЭГ+ GM-CSF. По оси ординат-концентрация клеток, кл. х  $10^6$ /мл. Примечание: достоверность различий между контролем (ФСБН) и ранением (а) и между ранением и другими экспериментальными группами (b) соответствует P<0,05. N=6. Б и В: Содержание фагоцитов Ф1 (Б) и Ф2 (В). 1-ФСБН, 0 мин, 2-ФСБН 1 сут, 3- ранение+ФСБН 1 сут, 4-GM-CSF 1 сут, 5-ранение+GM-CSF 1 сут, 6-ранение+TNF- $\alpha$ , 1 сут, 7- ранение+ЭГ 1 сут, 8-ранение+ЭГ+GM-CSF 1 сут, 9-ЭГ. По оси ординат-количество фагоцитов, кл. х  $10^6$ /экземпляр. Примечание: достоверность различий между контролем на 0 мин и группами на 1 сут (а) и между контролем на 1 сут и экспериментальными группами на 1 сут (b), а также между ранением и другими экспериментальными группами (с) соответствует P<0,05. N=6.

(A): Coelomocytes, 1 day. 1- bufferd saline, BSN, 2-injury+BSN, 3-GM-CSF, 4-injury+ GM-CSF, 5-injury+TNF- $\alpha$ , 6-EH, 7-injury+EH, 8-injury+EH+GM-CSF. The ordinate axis shows cell concentration, cells x  $10^6$ /ml. Note: the significance of differences between the control (BSN) and wound (a) and between wound and other experimental groups (b) corresponds to P<0.05. N=6. (B) and (C): Content of phagocytes P1 (B) and P2 (C). 1- BSN, 0 min, 2- BSN 1 day, 3- wound + BSN 1 day, 4-GM-CSF 1 day, 5-wound + GM-CSF 1 day, 6-wound + TNF- $\alpha$ , 1 day, 7-wound + EH 1 day, 8-wound + EH + GM-CSF 1 day, 9-EH. The ordinate axis shows the number of phagocytes, cells x  $10^6$ /specimen. Note: the significance of differences between the control at 0 min and the groups on day 1 (a) and between the control on day 1 and the experimental groups on day 1 (b), as well as between injury and other experimental groups (c) corresponds to P<0.05. N=6.

# ТИТУЛЬНЫЙ ЛИСТ\_МЕТАДАННЫЕ

#### Блок 1. Информация об авторе ответственном за переписку

**Людмила Степановна Долматова,** канд. биол. наук, старший научный сотрудник, ведущий научный сотрудник;

адрес: 690041 Владивосток, ул. Балтийская, 43;

факс: 8(423)2312573;

телефон: 8(423)2312580;

e-mail: dolmatova@poi.dvo.ru

Lyudmila Stepanovna Dolmatova, candidat of biological sciences, senior

scientific researcher, leading scientific researcher;

address: Russia, Primorsky Kray 690041, Vladivostok, Baltiyskaya 43;

fax: 8(423)2312573;

telephone: 8(423)2312580;

e-mail: dolmatova@poi.dvo.ru

#### Блок 2. Метаданные статьи

СРАВНИТЕЛЬНОЕ ИССЛЕДОВАНИЕ ИММУНОМОДУЛИРУЮЩЕГО ВЛИЯНИЯ ЭКСТРАКТА ИЗ ГОЛОТУРИЙ И ИНДУКТОРОВ ПОЛЯРИЗАЦИИ МАКРОФАГОВ НА МОДЕЛИ ФАГОЦИТОВ *EUPENTACTA FRAUDATRIX* ПРИ РАНЕНИИ

COMPARATIVE STUDY OF THE IMMUNOMODULATING EFFECTS OF HOLOTHURIAN EXTRACT AND MACROPHAGE POLARIZATION DRIVERS ON THE MODEL OF PHAGOCYTES OF INJURED EUPENTACTA FRAUDATRIX

# Сокращенное название статьи для верхнего колонтитула: ФАГОЦИТЫ РАНЕНЫХ ГОЛОТУРИЙ

#### PHAGOCYTES OF INJURED HOLOTHURIANS

**Ключевые слова:** голотурии, фагоциты, гранулоцитарно-макрофагальный колониестимулирующий фактор, фактор некроза опухолей альфа, экстракт из голотурий, ранозаживление.

**Keywords:** sea cucumbers, phagocytes, granulocyte-macrophage colony-stimulating factor, tumor necrosis factor- $\alpha$ , sea cucumber extract, wound healing.

Иммунологические чтения в Челябинске. Количество страниц текста – 5, Количество таблиц – 1, Количество рисунков – 1. 30.03.2025

## СПИСОК ЛИТЕРАТУРЫ

Порядков	Авторы, названи	е публикации	и ФИО,	название	публикации	и Полный интернет-адрес (URL)
ый номер	источника, где о	на опубликован	на, источн	ика на анг	лийском	цитируемой статьи или ее doi.
ссылки	выходные данные					

1. Л.С.. Уланова O.A. Dolmatova L.S., Ulanova O.A.The URL:.https://yadi.sk/d/egiVimjA Долматова Влияние экстракта из голотурий на effects of holothurian extract on rate USASY раны of healing the body cover wound and скорость заживления поверхностного покрова и динамику dynamics of coelomocyte **B** concentration in model experiment. концентрации целомоцитов модельном эксперименте // Здоровье. Zdorovye. Meditsinskaya ecologiya. Медицинская экология. Наука. – 2014. Nauka=Health. Medical Ecology. - №3 (57). -C. 23-25. Science, 2014, no.1, pp. 23-25, (In Russ.)] Dolmatova L.S., Ulanova O.A., **Dolmatov I.Yu. Comparative study** of the effect of dexamethasone and Л.С., Уланова O.A., new holothurians' extract on the Долматова И.Ю. Сравнительное level of the cytokine similar Долматов исследование действия дек-саметазона substances in certain immune cell и нового экстракта из голотурий на types in the holothurian Eupentacta уровень цитокиноподобных веществ в fraudatrix. *Tichookeanskiy* иммуноцитов[Meditsinskiy Zhurnal=Pacific Medical] отдельных типах голотурии Eupentacta fraudatrix Journal, 2014, no.1, pp. 13-17. (In Тихоокеанский медицинский журнал. Russ.) 2. - 2014. – № 1. – C . 13-17.

URL:https://www.tmjvgmu.ru/jour/article/view/714 Zurochka A.V., Zurochka V.A., Dobrynina M.A, Gritsenko Immunobiological properties granulocyte macrophage colonystimulating factor and synthetic peptides of his active center. Meditsinskaya Immunologiya= Medical Immunology (Russia), 2021, B.A., Vol. 23, no. 5, pp. 1031-1054. (In A.B., Зурочка Зурочка B.A. | Russ.)]. Добрынина М.А., Гриценко Иммунобиологические свойства гранулоцитарно-макрофагального колониестимулирующего фактора и синтетических пептидов его активного центра // Медицинская иммунология. -2021. –T. 23, № 5. – C. 1031-1054. Yarilin D.A.Role of tumor necrosis factor in the regulation of the inflammatory response of monocytes and nacrophages. Immunologia=Immunology, 2014. no.4, pp. 195-201. (In Russ.)

3.		_	
	Ярилин Д.А. Роль фактора некроза опухолей в регуляции воспалительного ответа моноцитов и макрофагов // Иммунология. — 2014.—№ 4. —С. 195-201.		doi: 10.15789/1563-0625-IPO- 2216
	Dolmatov I.Y. Variability of regeneration mechanisms in echinoderms. Rus. J. Mar. Biol., 2020, Vol. 46, no 6, pp. 391-404.		
	Dolmatova L.S., Dolmatov I.Y. Lead induces different responses of two subpopulations of phagocytes in the holothurian <i>Eupentacta fraudatrix</i> . <i>J</i> .		

	Ocean Univ. China, 2018, Vol.17, pp. 1391–1403	_	
4.	Dolmatova L.S., Karaulova, E.P. Studies of the role of phagocytes in superficial wound healing in the holothurian <i>Eupentacta fraudatrix</i> . Paleontol. J., 2024, Vol.58 (Suppl 3), pp. S258–S270.		https://elibrary.ru/download/elibra
	Dolmatova L.S., Smolina T. P. Morphofunctional features of two types of phagocytes in the holothurian <i>Eupentacta fraudatrix</i> (Djakonov et Baranova, 1958). J. Evol. Biochem. Physiol., 2022, Vol. 58, no 4, pp. 955–970.		ry_21842740_82810189.pdf
5.	Fraternale A., Brundu S., Magnani M. Polarization and repolarization of macrophages. J. Clin. Cell. Immunol., 2015, 6:2, pp. 319.		

-		
6.	Krugluger W., Gessl A., Boltz-Nitulescu G., Förster O. Lectin binding of rat bone marrow cells during colony-stimulating factor type 1-induced differentiation: soybean agglutinin as a marker of mature rat macrophages. J. Leukoc. Biol., 1990, Vol. 48, pp. 541-548.	doi:10.1134/S106307402006005X
	McKenzie A.N.J., Preston T.M. Functional studies on <i>Calliphora vomitoria</i> haemocyte subpopulations defined by lectin staining and density centrifugation. Devel. Compar. Immunol., 1992, Vol. 16, pp. 19–30.	doi:10.1007/s11802-018-3795-0
7.	Nash R., Neves L., Faast R., Pierce M., Dalton S. The lectin <i>Dolichos biflorus</i> agglutinin recognizes glycan epitopes on the surface of murine embryonic stem cells: a new tool for characterizing pluripotent cells and early differentiation.	

	Stem Cells, 2007, Vol. 25, no. 4, pp. 974- 82.	
8.	Ramírez-Gómez F., Aponte-Rivera F., Méndez-Castaner L., García-Arrarás J.E. Changes in holothurian coelomocyte populations following immune stimulation with different molecular patterns. Fish Shellfish Immunol, 2010, Vol. 29, pp. 175–185.	doi:10.1134/S003103012460166X
	Seco-Rovira V., Beltrán-Frutos E., Ferrer C., Sánchez-Huertas M.M., Madrid J.F., Saez F.J., Pastor L.M. Lectin histochemistry as a tool to identify apoptotic cells in the seminiferous epithelium of Syrian hamster ( <i>Mesocricetus auratus</i> ) subjected to short photoperiod. Reprod. Domest. Anim., 2013, Vol.48, no. 6, pp.974-83.	doi: 10.1134/S0022093022040020
9.	Wu J., Zhang L., Shi J., He R., Yang W., Habtezion A., Niu N., Lu P., Xue J. Macrophage phenotypic switch orchestrates the inflammation and repair/regeneration following acute	

Russian Journal of Immunology (Russia)

ISSN 1028-7221 (Print) ISSN 2782-7291 (Online)

	pancreatitis injury. EbioMedicine, 2020, 58:102920.		
		-	
10.			
			doi: 10.4172/2155-9899.100031.
			doi: 10.1002/jlb.48.6.541.
		_	

11.		
12.	_	doi: 10.1016/0145 305X(92)90048-H.

Russian Journal of Immunology (Russia)

ISSN 1028-7221 (Print) ISSN 2782-7291 (Online)

13.	-0224

14.		
		doi: 10.1111/rda.12196
15.		

	doi: 10.1016/j.ebiom.2020.102920.